

1. セルオートマトン (CA) モデルを交通流のシミュレーションに適用するとき、車や道路は、非常に簡素化され、それぞれ格子点とそれを占有する点として、デジタル化されている。そのことは、アナログ数値を表すとき、ビット数の少ないデジタル数のようだ、また相互作用は排除体積効果だけで超簡単だとの誹りもあるが、現象の特徴を浮き彫りにし、その本質をかなり正確に捉えていると思われる。ここでは、渋滞の発生に重要な役割を果たしている車の発車時期の遅れ (Delay) を決定論的 CA モデルに取り入れた。

2. モデル1 高速道路で渋滞のため一度停止した車が、次に前進するまでに時間遅れを生じる場合。このモデルでは、Wolfram の rule-184 モデルの速度を高速度まで拡張し、さらに発車遅れ時間を取り入れている。

まず車の速度 $v_i = 1$ 、遅れ時間 $t_w = 1$ のときを取り扱う。即ち 1 単位時間に車は 1 格子進み、一度停止した車は前の格子が空いても 1 単位時間待たないと前進できない (これは高安モデルに当たる)。車の密度 p (道路占有率に当たる) が小さいときは、車は平均速度 $\langle v \rangle = 1$ で進み (自由流相)、時間遅れの効果はない。密度が転移密度 $p_c = 1/3$ より大きくなると、平均速度は減少し (渋滞相)、 $\langle v \rangle = (1-p)/2p$ で表され、時間おくれの効果が現れる。 $\langle v \rangle$ は、次のように理解できる。車の直前に他の車が存在する車の台数を N_0 、直前が 1 格子空いている車の台数を N_1 、2 格子空いている車の数を N_2 とすると、全車数を N 、1 D 格子を L として、

$$N_0 + N_1 + N_2 = N = pL,$$

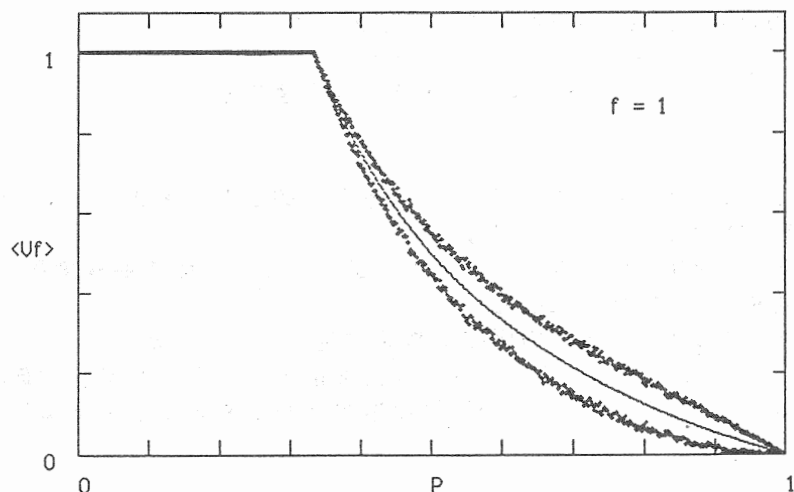
$$N_0 + 2N_1 + 3N_2 = L,$$

と書ける。

$$\langle v \rangle = (2N_2 + N_1/2) / N,$$

と表されるので、 $\langle v \rangle = (1-p)/2p$ が求まる。

実際シミュレーションを行うと、図 1 はシミュレーションで求められた $\langle v \rangle$ の 1 例である。渋滞相では、 $\langle v \rangle$ は 2 値の間を振動続ける。その平均値は $(1-p)/2p$ である。



これらの振動状態は、最初にランダムに配置された車の直前に他の車がないときに、出発に関する初期条件によって振幅が変わる。振動を無視できる程小さくできる初期条件を得ることができる。

一般に車の速度 $v_i = m$ 、遅れ時間 $t_w = n$ のときは、車の密度が転移密度 $p_c = 1 / (m(1+n)+1)$ より小さい領域では、速度 $\langle v \rangle = m$ の自由流領域、それ以上では平均速度の振動する渋滞相が現れる。振動値は $n+1$ 個の値をとる。それらの値の平均値は $\langle v \rangle = (1-p) / (1+n)p$ である。

3. モデル2 部分的に最高制限速度が異なっている (例えばトンネルがある) 高速道路

長さ L の1次元高速道路で、最高制限速度 $V_1 = 1$ の道路の長さが L_1 、最高制限速度 $V_2 = 2$ の道路の長さが L_2 の道路を考える。

$$L_1 + L_2 = L \quad (1)$$

周期境界条件を取り入れる。車の台数が少ないときは、車はそれぞれの制限速度に従って走る。もう少し多くなり、臨界濃度 p_c に達すると、より高速な道路 L_2 の中に車が4格子(3格子でない)ごとに並び、低速道路 L_1 には2格子ごとに並ぶ配置が生じる。さらに濃度が増加すると、高速な道路 L_2 の中に低速道路の配置即ち2格子ごとに並ぶ配置が生じる。つまり、高速な道路 L_2 の中に低速道路の jam が延びてくる。これは、高速な道路の中に一種の隘路である低速道路があると考えて良い。(例えばトンネルの入口を先頭に渋滞が発生し、延びていくに対応している。)

今車が4格子ごとに並ぶ配置が起こっている長さを l_2 、2格子ごとに並んでいる配置の長さを l_1 とすると、

$$l_1 + l_2 = L \quad (2)$$

$$l_1 / 2 + l_2 / 4 = N = pL \quad (3)$$

ここで l_2 は、 $0 \leq l_2 \leq L_2$ の範囲で変わりうることに注意しよう。上式より、

$$l_2 = 2(1-2p)L \quad (4)$$

$$l_1 = (4p-1)L \quad (5)$$

$$l_2 = L_2 \text{ となる } p \text{ は } p = (2 - L_2/L) / 4 \quad (6)$$

$$l_2 = 0 \text{ となる } p \text{ は } p = 1/2 \quad (7)$$

この範囲で、 l_2 が存在する。このとき、

$$\langle v \rangle = 1/2p$$

$$\langle J \rangle = 1/2 \quad (\text{交通流量})$$

さて、

(1) $L_2 = 0$ のとき ($V_2 = 2$ の道路区間がないとき)、 $l_2 = 0$ となり、

Wolframモデルと同じになる。

(2) $L_2 = L$ のとき、 $1/4 < p \leq 1/2$ 区間で高速度配列で、 $1/2 \leq p$ で低速度 (jam配列) になる。

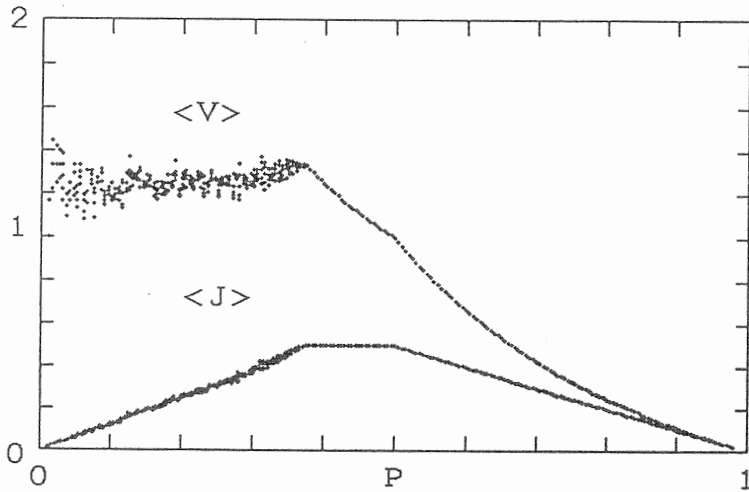
(3) $L_2 = L$ (全ての区間で高速で走れる) のとき、

$1/3 < p \leq 1/2$ 区間で高速度配列で、 $1/2 \leq p$ で低速度 (jam配列) になる。(2)と(3)の間に状態の転移があることを指摘しておく。

図2に、シミュレーションで得られた平均速度と平均流量をしめす。

次に $V_1=1$, $V_3=3$ のときは、車は、 V_1 区間では2格子に1台、 V_3 区間では6格子に1台並ぶ。

$(3 - 2L_3/L) / 6 \leq p \leq 1/2$ の区間で、高速度配置が現れる。



次にこのモデルに時間遅れの効果を取り入れると ($t_w=1$)、図3に示されるように、高速度配列の中に、jam構造が発生して平均速度は下がり、ランダムにばらつく。 $1/2 < p$ では、時間遅れの効果のため、車の発進、停車を繰り返し、平均速度は、2値間を振動する。

